

Impact factors of subarachnoid hemorrhage after stent embolectomy in acute ischemic stroke

ZHANG Wen¹, LIU Zhensheng^{2*}, SUN Yong², KUANG Xiongwei²,
ZHOU Longjiang², TANG Tieyu³

(1. Department of Ultrasound, 2. Department of Interventional Radiology, 3. Department of Neurology,
Affiliated Hospital of Yangzhou University, Yangzhou 225001, China)

[Abstract] **Objective** To explore the impact factors of subarachnoid hemorrhage (SAH) after stent embolectomy in acute ischemic stroke. **Methods** Data of 88 patients with middle cerebral artery (MCA) occlusion who underwent stent embolectomy were retrospectively analyzed. The baseline characteristics and clinical data were compared between patients with SAH (SAH group) and non-SAH (non-SAH group) after operation. **Results** Stent mechanical thrombectomy was successfully performed in all 88 patients. SAH occurred in 14 cases, while 74 cases were found non-SAH after operation. No significant difference of the baseline characteristics of age, sex, National Institute of Health stroke scale (NIHSS) score, etc, the diameters or length of stent, incidence of vasospasm, the incidence of angioplasty nor modified thrombolysis in cerebral infarction (mTICI) was found between 2 groups (all $P > 0.05$). The number of thrombectomy attempts, stent position along the M2 segment and the top-to-bottom distance (D-TB) of MCA in SAH group were significantly higher than those in non-SAH group (all $P < 0.05$). **Conclusion** Tortuous MCA, multiple thrombectomy, M2 segment thrombectomy and stent releasing in M2 segment may increase the risk of SAH after stent thrombectomy in patients with acute cerebral infarction.

[Keywords] brain infarction; subarachnoid hemorrhage; middle cerebral artery; mechanical thrombectomy; stents

DOI: 10.13929/j.issn.1672-8475.2020.01.003

急性脑梗死支架取栓术后蛛网膜下腔出血 影响因素

张文¹, 刘振生^{2*}, 孙勇², 匡雄伟², 周龙江², 唐铁钰³

(1. 扬州大学附属医院超声科, 2. 介入放射科, 3. 神经科, 江苏 扬州 225001)

[摘要] **目的** 探讨急性脑梗死患者接受支架取栓术后发生蛛网膜下腔出血(SAH)的影响因素。**方法** 回顾性分析 88 例经支架取栓治疗的急性大脑中动脉(MCA)闭塞患者, 对比分析术后发生 SAH(SAH 组)与未发生 SAH 者(无 SAH 组)的差异。**结果** 88 例均成功经支架取栓。术后 14 例出现 SAH, 74 例无 SAH。2 组患者性别、年龄、基础疾病、入院时美国国立卫生研究院卒中量表(NIHSS)评分等一般资料, 术中所用取栓支架长度及直径、血管痉挛发生率、行挽救性血管成形术比例、术后改良脑梗死溶栓(mTICI)分级差异均无统计学意义(P 均 >0.05)。SAH 组取栓次数、支架释放于 M2 段内长度、MCA 顶-底距离(D-TB)均高于无 SAH 组(P 均 <0.05)。**结论** MCA 纤曲、多次取栓、M2 段取栓及支架释放于 M2 段较长可能增加急性脑梗死患者支架取栓后 SAH 风险。

[关键词] 脑梗死; 蛛网膜下腔出血; 大脑中动脉; 机械取栓; 支架

[中图分类号] R743.3; R815 **[文献标识码]** A **[文章编号]** 1672-8475(2020)01-0008-05

[第一作者] 张文(1975—), 安徽巢湖人, 硕士, 副主任医师。研究方向: 超声诊断。E-mail: liuzhangxb@sina.com

[通信作者] 刘振生, 扬州大学附属医院介入放射科, 225001。E-mail: lzhsh960@sina.com

[收稿日期] 2019-07-26 [修回日期] 2019-12-02

支架取栓已成为治疗急性颅内大血管闭塞性脑梗死的首选方法^[1-2],但并发症如血管损伤、蛛网膜下腔出血(subarachnoid hemorrhage, SAH)发生率高达3.6%~25.2%^[3-5]。术前明确SAH发生危险因素,对于预防SAH发生、改善患者预后意义重大。本研究探讨急性脑梗死患者支架取栓术后出现SAH的影响因素。

1 资料与方法

1.1 一般资料 回顾性分析2015年1月—2018年10月于我院接受经支架取栓治疗的88例急性脑梗死患者,男48例,女40例,年龄40~85岁,平均(67.0±8.9)岁,美国国立卫生研究院卒中量表(National Institute of Health stroke scale, NIHSS)评分6~25分,平均(15.72±5.23)分。纳入标准:①年龄≥18岁;②术前排除颅内出血、SAH;③术前CTA或MRA检查证实大脑中动脉(middle cerebral artery, MCA)M1或M2段闭塞;④发病时间<8 h;⑤入院时NIHSS评分≥6分;⑥入院时阿尔伯特卒中项目早期CT评分(Alberta stroke program early CT score, ASPECT)≥6分,或DWI示早期明确前循环梗死(梗死脑组织体积<大脑半球1/3)。排除标准:①DWI示早期明确前循环大面积脑梗死(梗死脑组织≥大脑半球1/3);②活动性出血或有出血倾向;③血小板计数<100×10⁹/L;④严重心、肝、肾功能不全或严重糖尿病。

1.2 仪器与方法 采用Siemens AXIOM Artis dTA DSA机为引导设备。根据患者意识状态及配合能力,于镇静麻醉或全身麻醉下进行支架取栓^[6-7]。以5F造影导管行选择性双侧颈内动脉(internal carotid artery, ICA)及椎动脉造影,明确责任血管并评价侧支循环。将8F Envoy导引导管或球囊导引导管置于患侧ICA的C1段,Transend 0.014in微导丝及Rebar18或27微导管通过血管闭塞段,造影进一步明确栓子部位及范围。将Solitaire支架(4 mm×20 mm, 6 mm×20 mm或6 mm×30 mm)送至靶血管,使近1/3段覆盖血栓;放置支架3~5 min,固定支架导丝,向前推送微导管部分;回收支架,收紧微导管并与支架同时撤出导引导管。回撤支架时,停止导引导管内液体滴注,回抽导引导管形成逆流;造影复查血管再通情况,必要时重复取栓(不超过6次)。以改良脑梗死溶栓(modified thrombolysis in cerebral infarction, mTICI)分级评价再灌注情况。对动脉粥样硬化合并血栓形成、取栓后残余重度狭窄者,酌情予

球囊扩张或植入支架。若ICA存在串联病变(连续多处血管闭塞),先行颅内取栓,再植入ICA支架。术后即刻行头部CT平扫,了解局部对比剂沉积情况及是否发生SAH。疑有SAH时暂停或不行抗血小板治疗,术后24 h内复查头部CT。术后将患者送至监护病房,控制收缩压于120 mmHg左右或小于基础血压20 mmHg。

1.3 影像学分析 由2名神经介入科主任医师共同进行影像学评价,有分歧时经讨论达成一致。如术后即刻及术后24 h头部CT平扫均发现侧裂、脑沟、脑池内新增高密度影,CT值<90 HU时判定为出血,≥90 HU为对比剂和血液混合物。测量MCA-M1曲度,根据微导丝通过M1段至M2段时的形态勾画MCA走行方向,以MCA顶-底距离(top-to-bottom distance, D-TB)间接表示M1段纡曲程度。

1.4 临床资料收集 记录患者性别、年龄、高血压、心房颤动、糖尿病、术前抗栓或溶栓治疗、术前NIHSS评分及ASPECT评分、血管闭塞部位(M1、M2)、发病至机械取栓时间、发病至血管再通时间、mTICI分级、取栓次数、Solitaire支架直径及长度、支架释放于M2段内长度、D-TB、是否合并血管痉挛、是否行血管成形术及术后3个月改良Rankin量表(modified Rankin scale, mRS)评分(mRS≥3分判定为预后不良)。

1.5 统计学分析 采用SPSS 19.0统计分析软件。符合正态分布的计量资料以 $\bar{x}\pm s$ 表示,组间比较采用t检验;以 χ^2 检验或Fisher确切概率检验比较计数资料。 $P<0.05$ 为差异有统计学意义。

2 结果

88例均成功取栓。7例(7/88, 7.95%)取栓术中发生大脑前动脉(anterior cerebral artery, ACA)栓塞(A1段3例、A2段4例),均以4 mm×20 mm支架取栓后再通,术后均未发生SAH。术后14例出现SAH(图1、2),74例无SAH。SAH组2例、非SAH组8例存在串联病变,均于颅内取栓后植入颈动脉支架。SAH组2例、无SAH组15例术中采用支架联合中间导管取栓。所有患者术中造影均未见明显动脉穿孔、对比剂外渗;SAH组1例合并右侧裂血肿及占位效应,预后不良(mRS=4分)。

术后SAH组与无SAH组患者性别、年龄、基础疾病、入院时NIHSS评分等一般资料差异均无统计学意义(P 均>0.05),见表1;发病至股动脉穿刺时间、发病至血管再通时间、术中所用取栓支架长度及直径、血管痉挛发生率、接受挽救性血管成形术比例、术后

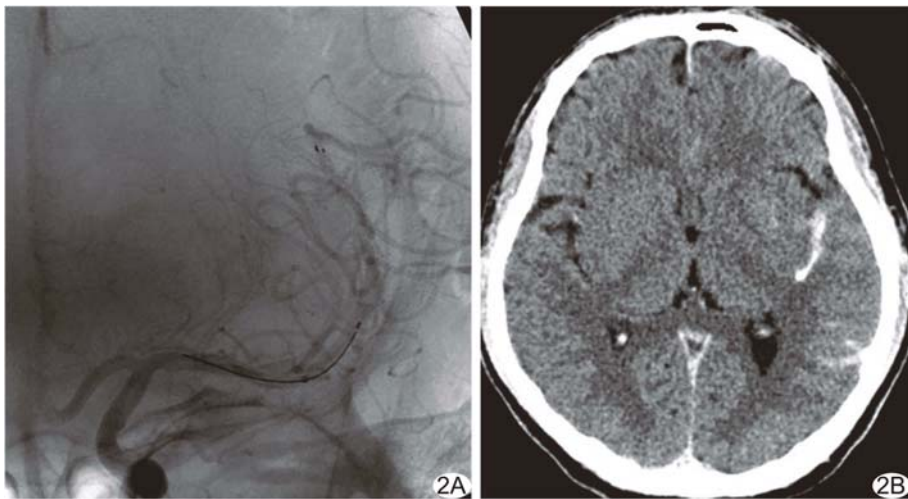


图 2 患者女,65岁,突发右侧肢体无力、失语2.5 h入院,左侧MCA M2段闭塞,接受支架取栓术 A. Solitaire支架释放后部分复流; B. 术后即刻头部CT示左外侧裂SAH

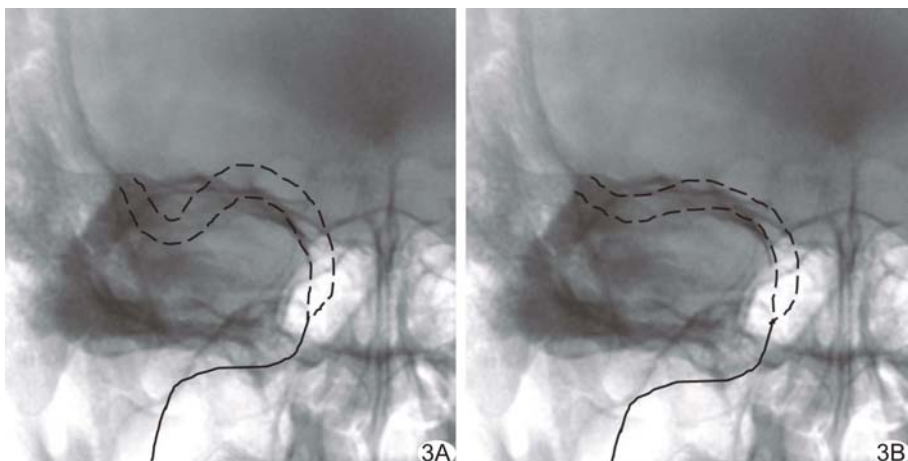


图 3 Solitaire 支架回拉初始阶段运动情况 A. 于 ICA 末端 M2 段释放支架, 血管走行纡曲; B. 回拉初始阶段支架相对血管未移动, 仅表现为形态变化

取栓成功率下降。NG 等^[10]提出 M1 成角与术后 SAH 发生率呈正相关。本研究以 D-TB 间接反映 M1 段纡曲程度,发现 D-TB 距离越大,术后 SAH 发生率越高,与 NG 等^[10]的结果相符;究其原因,M1 段纡曲程度越大,支架与血管壁间摩擦力越大,回拉支架过程中 MCA 变形、移位,表现为近端血管折曲及远端血管延长(图 3),进而导致细小穿支血管过度牵拉、破裂出血。因此,有学者^[11]建议采用联合中间导管技术来改变力的作用方向,缓解 MCA 变形、移位,降低 SAH 风险。笔者发现 ACA 成角较 MCA 成角更大,支架取栓过程中血管角度变化更明显;但本组对 7 例术中发生 ACA 闭塞患者进行支架取栓,均未见相应部位发生 SAH,原因可能主要与脑组织及血管解剖结构有关,

即脑侧裂较纵裂宽距明显增大,ACA 发出的穿支主要位于同侧脑组织,回拉支架过程中 ACA 穿支受到牵拉的程度并不明显。

与 NG 等^[10]的结果类似,本研究结果也提示支架释放于 M2 段内长度与术后 SAH 发生相关,因为支架于 M2 段越长,其与相应部位血管壁接触的面积越大,摩擦力越大;此外,M2 段血管相对较细,进一步增加支架与血管壁之间的摩擦力,使得回拉支架过程中血管变形、移位更加明显。对于 M2 段闭塞患者,机械取栓时支架释放位置常需更远。尽管本组 SAH 组与无 SAH 组间 M2 段闭塞所占比例差异无统计学意义,但 SAH 组栓子逃逸至 M2 段比例更高、取栓次数更多,实际 M2 段取栓比例明显高于无 SAH 组。

本研究提示取栓次数与术后 SAH 发生相关,与既往文献^[10-12]报道相符。急性缺血性卒中患者多有不同程度意识障碍,手术配合不佳、需于局部麻醉下手术且无路径图指导,微导丝盲目反复血管内操作导致小血管夹层或微穿孔,在血管梗阻未解除或血管痉挛情况下并不会即刻表现为对比剂外渗;血管再通及痉挛解除后可出现延迟、缓慢的血液及对比剂外渗。KEULERS 等^[12]对比分析支架取栓术中采用常规微导丝通过血栓和无导丝下微导管通过血栓两种技术治疗后急性脑梗死患者发生 SAH 情况,结果显示前者 SAH 发生率明显高于后者(24.2% vs 4.5%),提示微导丝反复通过血栓导致小血管损伤可能是 SAH 发生的重要原因。SHI 等^[13]认为支架取栓术中挽救性血管成形术可增加术后 SAH 风险;本研究未得到类似结果,可能与病例选择及样本量较少有关。

本研究不足之处在于病例数较少且为回顾性研究,未对支架取栓术后 SAH 影响因素进行多因素分析。

综上所述,MCA 纤曲、多次取栓、支架于 MCA M2 段较长及 M2 段取栓可增加急性脑梗死患者支架取栓术后 SAH 风险,合并颅内血肿及占位效应可导致预后不良。深入了解支架取栓术中可能引发 SAH 的危险因素,术中适当调整取栓策略可降低 SAH 发生风险。

[参考文献]

- [1] SHIRAKAWA M, YOSHIMURA S, UCHIDA K, et al. Relationship between hemorrhagic complications and target vessels in acute thrombectomy [J]. J Stroke Cerebrovasc Dis, 2017, 26(8):1732-1738.
- [2] KURRE W, AGUILAR-PÉREZ M, MARTINEZ-MORENO R, et al. Stent retriever thrombectomy of small caliber intracranial vessels using pREset LITE: Safety and efficacy [J]. Clin Neuroradiol, 2017, 27(3):351-360.
- [3] YOON W, JUNG M Y, JUNG S H, et al. Subarachnoid hemorrhage in a multimodal approach heavily weighted toward mechanical thrombectomy with solitaire stent in acute stroke[J]. Stroke, 2013, 44(2):414-419.
- [4] MACHI P, COSTALAT V, LOBOTESIS K, et al. Solitaire FR thrombectomy system: immediate results in 56 consecutive acute ischemic stroke patients [J]. J Neurointerv Surg, 2012, 4(1):62-66.
- [5] DORN F, STEHLE S, LOCKAU H, et al. Endovascular treatment of acute intracerebral artery occlusions with the solitaire stent: Single-centre experience with 108 recanalization procedures[J]. Cerebrovasc Dis, 2012, 34(1):70-77.
- [6] 刘振生,孙勇,周龙江,等.钳夹取栓治疗急性颅内大血管栓塞与传统 Solitaire 支架取栓对照研究[J].中华神经科杂志,2017,50(10):751-756.
- [7] 刘振生,李澄,王苇,等.前循环急性多发闭塞病变血管内治疗的初步经验[J].中华放射学杂志,2014,48(9):754-757.
- [8] MOKIN M, FARGEN K M, PRIMIANI C T, et al. Vessel perforation during stent retriever thrombectomy for acute ischemic stroke: Technical details and clinical outcomes [J]. J Neurointerv Surg, 2017, 9(10):922-928.
- [9] SCHWAIGER B J, GERSING A S, ZIMMER C, et al. The curved MCA: Influence of vessel anatomy on recanalization results of mechanical thrombectomy after acute ischemic stroke[J]. AJNR Am J Neuroradiol, 2015, 36(5):971-976.
- [10] NG P P, LARSON T C, NICHOLS C W, et al. Intraprocedural predictors of post-stent retriever thrombectomy subarachnoid hemorrhage in middle cerebral artery stroke[J]. J Neurointerv Surg, 2019, 11(2):127-132.
- [11] GOTO S, OHSHIMA T, ISHIKAWA K, et al. A stent-retrieving into an aspiration catheter with proximal balloon (ASAP) technique: A technique of mechanical thrombectomy [J]. World Neurosurg, 2018, (109):e468-e475.
- [12] KEULERS A, NIKOUBASHMAN O, MPOTSARIS A, et al. Preventing vessel perforations in endovascular thrombectomy: Feasibility and safety of passing the clot with a microcatheter without microwire: the wireless microcatheter technique [J]. J Neurointerv Surg, 2019, 11(7):653-658.
- [13] SHI Z S, LIEBESKIND D S, LOH Y, et al. Predictors of subarachnoid hemorrhage in acute ischemic stroke with endovascular therapy[J]. Stroke, 2010, 41(12):2775-2781.

2019 版中国科技期刊引证报告相关数据 ——《中国介入影像与治疗学》

由中国科学技术信息研究所主持的“2018 中国科技论文统计结果发布会”于 2019 年 11 月 19 日在北京国际会议中心举行。《中国介入影像与治疗学》杂志在《2019 版中国科技期刊引证报告》(核心版)的相关数据为:

- 1 文献来源量:171 篇;
- 2 基金论文比:0.42;
- 3 核心总被引频次:792;
- 4 核心影响因子:0.853;
- 5 学科扩散指标:11.65;
- 6 学科影响指标:0.91;
- 7 综合评价总分:47.8。